

Progetto DPC-ReLUIS 2024-2026 WP15



Task 15.1 - Influenza delle tamponature

Valutazione della vulnerabilità di edifici in c.a. tamponati includente la risposta a livelli intermedi dell'azione sismica di normativa

Stefano Sorace^a, Samantha Lisetto^a, Gloria Terenzi^b

^a Dipartimento Politecnico di Ingegneria e Architettura, Università degli Studi di Udine ^b Dipartimento di Ingegneria Civile e Ambientale, Università degli Studi di Firenze

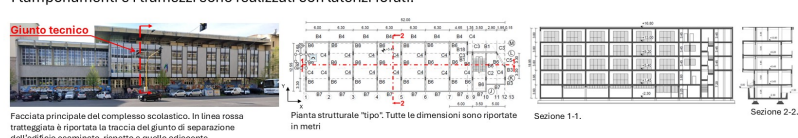
1. OBIETTIVO

Valutare la vulnerabilità sismica di un edificio ad uso scolastico costruito a Firenze dei primi Anni '60, rappresentativo di un'ampia gamma di fabbricati di analoghe caratteristiche.

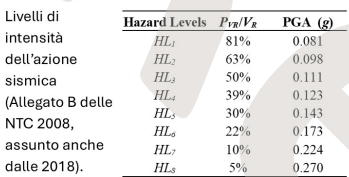
L'analisi considera anche i livelli di pericolosità intermedi stabiliti dalla normativa, situati tra quelli con P_{VR}/R_e = 63% (per le verifiche allo SLD) e 10% (per quelle allo SLV), e il comportamento degli elementi non strutturali.

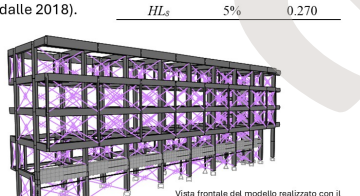
2. EDIFICIO CASO DI STUDIO

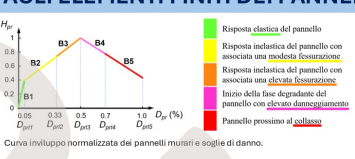
L'edificio considerata presenta una struttura intelaiata in c.a. con quattro piani fuori terra e un piano seminterrato. I tamponamenti e i tramezzi sono realizzati con laterizi forati.



3. AZIONE SISMICA E MODELLAZIONE AGLI ELEMENTI FINITI DEI PANNELLI MURARI

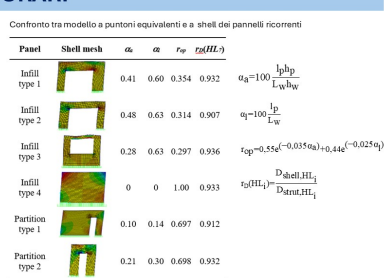


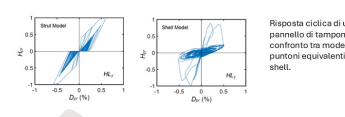




Il comportamento dei pannelli murari è stato rappresentato tramite curve inviluppo trilineari suddivise in cinque segmenti, definiti in funzione del drifft. La risposta isteretica è stata descritta con un modello pivot-point.

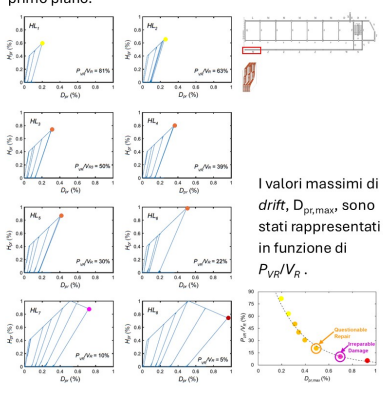
Le aperture dei pannelli sono state considerate tramite il coefficiente $r_{\rm op}$ (Decanini et al. 2014). I pannelli murari, modellati con puntoni equivalenti, mostrano valori di spostamento non oltre il 9% rispetto al modello degli stessi mediante shell non lineari, confermando la validità della modellazione semplificata.

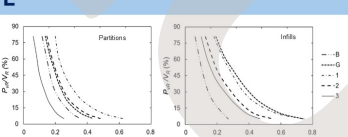




4. RISULTATI DELLE ANALISI CONDOTTE

Le analisi hanno avuto quale principale obiettivo la valutazione della risposta dei pannelli murari. È qui riportata la curva di risposta di una tamponatura del primo piano.

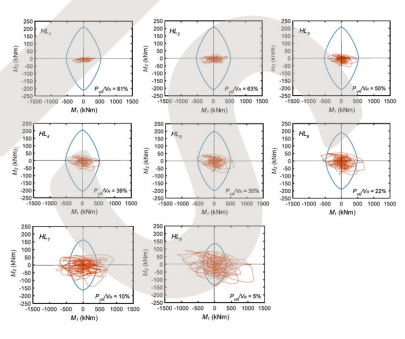




La media dei *drift* massimi rappresentata per ciascun piano evidenzia domande più elevate nei pannelli del primo, per le tramezzature, e in quelli del piano terra e del primo, per le tamponature, con *drift* superiori allo 0,33% già a partire da $HL_{\rm e}(P_{\rm vol}/V_{\rm p}=22\%)$.



Le curve di interazione M_7 – M_2 di un pilastro del piano interrato mostrano il superamento del dominio di sicurezza a presso-flessione a partire da HL₅ (P_{VR}/V_R = 22%). I risultati evidenziano una vulnerabilità significativa della struttura già a partire da tale livello dall'azione.

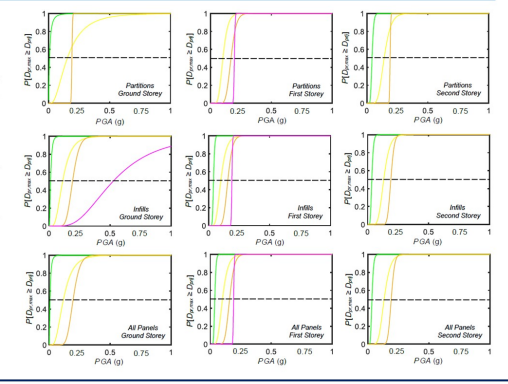


5. CURVE DI FRAGILITÀ DEI PANNELLI MURARI

Le curve di fragilità dei pannelli in muratura, generate con il programma R2R-EU, mostrano che almeno il 50% dei pannelli supera la soglia di spostamento per lo SLO (drift pari a 0,33%) tra i livelli HL $_2$ ($P_{VR}/V_R=63\%$) e HL $_4$ ($P_{VR}/V_R=40\%$), mentre quella riferita allo SLD (drift 0,5%) si raggiunge tra HL $_5$ ($P_{VR}/V_R=30\%$) e HL $_7$ ($P_{VR}/V_R=10\%$)

Al primo piano il collasso locale (drift 0,7%) avviene tra HL_6 e HL_7 .

I pannelli evidenziano fragilità significativa già a livelli intermedi, suggerendo di considerare l'introduzione di un ulteriore livello di verifica di normativa, pari a HL₅ o HL₅.



6. OSSERVAZIONI CONCLUSIVE

L'analisi del caso di studio ha permesso di valutare le prestazioni dell'edificio per otto diversi livelli di intensità dell'azione sismica definiti nell'Allegato B delle NTC 2008/2018.

Il modello a puntoni risulta coerente con quello a shell non lineari, confermandone l'efficacia e la convenienza computazionale.

Gli elementi strutturali risultano non verificati a partire da $\mathsf{HL}_{\kappa}.$

Per HL_5 – HL_6 , il 30–50% dei pannelli presenta *drift* pari a 0,4–0,5%, con alcuni in condizioni di irreparabilità.

L'inserimento di livelli intermedi di pericolosità nelle analisi di normativa consentirebbe una valutazione più completa del danno, strutturale e non, per edifici a struttura intelaiata in c.a. con tamponature e tramezzi in laterizio, di cui quello esaminato costituisce un esempio rappresentativo.